



## The S362A mutation block ROMK2 (Kir1.1b) endocytosis in *Xenopus laevis* oocyte membrane

Saeed Hajihashemi\*

Dep. Physiology, School of Medical Sciences, Arak University of Medical Sciences, Arak, Iran

Received: 17 Jul 2008

Revised: 13 Jan 2009

Accepted: 22 Jan 2009

### Abstract

**Introduction:** ROMK channel is localized on the apical membrane of nephrons. Recent studies suggest that endocytosis of ROMK channels is important for regulation of K<sup>+</sup> secretion in cortical collecting ducts. In this study, the effect of S362A mutation is examined on the membrane turnover and stability of ROMK2 channel when expressed in *Xenopus laevis* oocytes.

**Methods:** oocytes were isolated by standard protocols using collagenase (Type 1A). Mutations of the cytoplasmic termini of ROMK2 were performed using the quik-change approach for site-directed mutagenesis.

*Xenopus* oocytes were injected with cRNA encoding ROMK2 or S362A mutant 3 days prior to treatment with Brefeldin A added to the OR3 medium (+BFA) at the concentration of 25 μM or ethanol as BFA vehicle (-BFA). BFA inhibits the insertion of new proteins into the cell membrane. Two-electrode voltage clamp (TEVC) was used to measure oocyte ROMK-dependent currents and membrane potential. Data was analyzed using Student's t-tests or ANOVA as appropriate.

**Results:** Incubation of oocytes expressing ROMK2 channels in 25 μM BFA caused a reduction in the currents and membrane voltage. In oocytes expressing the S362A mutant, there was no decay in current and membrane voltage after 48 hours incubation with BFA at 25 μM. The fractional current for ROMK2 at 48h following treatment of oocytes with BFA was  $0.24 \pm 0.05$  (n=24), which was significantly different from S362A mutant ( $0.96 \pm 0.05$ , n=24).

**Conclusion:** These results show that the S362A mutation increases the general stability of ROMK and renders the protein resistance to endocytosis. This is consistent with the idea that there is an interaction between the C-terminal of ROMK2 and components of the endocytotic pathway. A functional PDZ domain (the S-E-V) plays a key role in determining the stability of ROMK.

**Keywords:** ROMK2, S362A mutant, BFA, PDZ domain.

\* Corresponding author e- mail: hajihashemi@hotmail.com  
Available online @: www.phypha.ir/ppj

## متوقف شدن روند آندوسیتوز کانال پتاسیمی ROMK2 ( $K_{ir}1.1b$ ) در اثر موتاسیون S362A در غشاء اووسیت‌های *Xenopus laevis*

سعید حاجی هاشمی\*

گروه فیزیولوژی، دانشکده پزشکی، دانشگاه علوم پزشکی اراک، اراک

دریافت: ۲۶ تیر ۸۷ بازبینی: ۲۳ دی ۸۷ پذیرش: ۲ بهمن ۸۷

### چکیده

**مقدمه:** کانال‌های پتاسیمی ROMK در غشاء راسی سلول‌های کلیه قرار گرفته‌اند. ایزو فورم‌های مختلفی از کانال پتاسیمی ROMK در قسمت‌های انتهایی نفرون و در مجاری جمع کننده شناسایی شده‌اند که وظیفه ترشح یون  $K^+$  را بر عهده دارند. تحقیقات نشان داده‌اند که آندوسیتوز کانال‌های پتاسیمی ROMK برای ترشح  $K^+$  در مجاری جمع کننده نقش مهمی دارا می‌باشد. در این مطالعه اثرات موتاسیون S362A (جایگزین کردن اسید آمینه سرین در جایگاه شماره ۳۶۲ با اسید آمینه آلانین) بر روی آندوسیتوز کانال پتاسیمی ROMK2 پس از بیان در غشاء اووسیت بررسی گردیده است.

**روش‌ها:** در این پژوهش تجربی اووسیت‌های *Xenopus laevis* با استفاده از کلاژناز به روش استاندارد جدا گردیدند و جهت ایجاد موتاسیون در انتهای کربوکسیل کانال پتاسیمی ROMK2 با استفاده از روش ایجاد تغییر سریع ایجاد موتاسیون زای مستقیم گردید. cRNA ای که ROMK2 و موتاسیون S362A را کد می‌کرد به اووسیت‌ها تزریق شد. پس از گذشت سه روز (زمان صفر) به محیط کشت برفلدین A (+BFA) مهار کننده انتقال پروتئین‌های ساخته شده به غشاء به مقدار ۲۵ میکرومولار یا اتانول به عنوان حلال BFA (-BFA) اضافه گردید. با استفاده از تکنیک ثابت نگه داشتن ولتاژ با استفاده از دو الکتروود جریان‌های یونی مربوط به کانال‌های پتاسیمی ROMK2 و موتاسیون S362A اندازه گیری گردید.

**یافته‌ها:** یافته‌ها نشان داد که مقدار جریان یونی پتاسیم از کانال‌های پتاسیمی ROMK2 با موتاسیون S362A بر خلاف کانال‌های پتاسیمی بدون موتاسیون ROMK2 پس از انکوبه شدن در محلول ۲۵ میکرو مولار BFA کاهش معنی‌داری پیدا نکرد. برای ROMK2 پس از اینکه اووسیت‌ها ۴۸ ساعت تحت تاثیر BFA بودند میزان کسر جریان برابر با  $0.24 \pm 0.05$  (n=16) بود.

**نتیجه‌گیری:** این نتایج افزایش پایداری وثبات کانال‌های پتاسیمی ROMK2 در غشاء بعد از ایجاد موتاسیون S362A را نشان می‌دهد. قسمت داخلی ناحیه PDZ به ترتیب با اسیدهای سرین - گلوتامیک اسید- والین (S-E-V) در تعیین پایداری و آندوسیتوز کانال‌های پتاسیمی ROMK2 در غشاء سلول دخالت دارد.

واژه‌های کلیدی: ROMK2، موتاسیون S362A، BFA، ناحیه PDZ

### مقدمه

توسط اندام‌های دفعی و نگهداری مقادیر متناسبی از آب، نمک و مواد غذایی تنظیم می‌شود. کلیه‌ها اندام‌های مسئول نگهداری حجم و ترکیب یونی مایعات بدن هستند. نفرون‌ها واحدهای ساختمانی و عملی در کلیه‌ها هستند. عملکرد اپیتلیوم نفرون‌ها به نحوه قرار گرفتن پروتئین‌ها و لیپیدهای آن در غشاء راسی و قاعده‌ای - جانبی بستگی دارد. این پروتئین‌ها در غشاء راسی و

ترکیب شیمیایی مایعات بدن با دفع مواد زائد متابولیک

hajihashemi@hotmail.com

www.phypha.ir/ppj

\* نویسنده مسئول مکاتبات:

وبگاه مجله:

پتاسیم وابسته است و توسط مکانیسم آندوسیتوز کانال‌های ROMK تنظیم شود. تغییر در رژیم دریافت پتاسیم فعالیت cSrc تیروزین کیناز و تیروزین فسفاتاز مربوطه را تغییر می‌دهد که به نوبه خود بر میزان آندوسیتوز و یا آگزوسیتوز کانال‌های پتاسیمی تاثیر می‌گذارد. آندوسیتوز به دو صورت وابسته و غیروابسته به کلاترین پروتئین‌ها را از غشاء پلاسمای بر می‌دارد [۷]. با وجود مطالعات گسترده الکتروفیزیولوژی انجام شده بر روی کانال پتاسیمی ROMK هنوز اطلاعات کمی در باره مکانیسم‌های انتقال دهنده به غشاهای خارج و داخل سلولی (trafficking) و مبادله شدن غشائی آن وجود دارد. شواهد غیرقابل انکاری توسط Zeng و همکارانش گزارش شده‌است که آندوسیتوز کانال پتاسیمی ROMK از طریق وزیکول‌های پوشیده با کلاترین<sup>۲</sup> (CCVs) را نشان می‌دهد و همچنین نقش اسیدهای آمینه ناحیه انتهایی کربوکسیل کانال‌های پتاسیمی ROMK (K<sub>ir</sub>1.1) را در این روند مشخص می‌کند [۲۳]. پروتئین‌های ناحیه PDZ قابلیت اتصال به توالی‌های انتهایی کربوکسیل را دارد که با پروتئین‌های هدف تداخل می‌نمایند. در انسان و جوندگان توالی اسیدهای آمینه انتهایی‌های کربوکسیل کانال‌های پتاسیمی ROMKs به مقدار زیادی در طول تکامل حفظ شده است و دارای چندین الگو (motifs) هستند که محل قرارگیری این کانال‌ها در داخل غشاها را تعیین می‌کند (شکل ۱). از جمله یک الگوی (YDNPNF) که با الگوی درون بری<sup>۳</sup> (MP)(D/E)(Y/F) بسیاری از پروتئین‌های غشایی که از طریق CCVs به داخل برده می‌شوند به صورت هومولوگ است [۱۱].

موتاسیون S362A (جایگزین کردن اسید آمینه سرین در جایگاه شماره ۳۶۲ با اسید آمینه آلانین) یک موتاسیون در قسمت داخلی ناحیه PDZ است. در حالت طبیعی اسید آمینه سرین دارای اثرات فسفوریلاسیون کننده می‌باشد ولی موتاسیون ایجاد شده S362A دارای اثرات دفسفوریلاسیون کننده می‌باشد. اثرات دفسفوریلاسیون کننده موتاسیون S362A بر روی پایداری کانال پتاسیمی ROMK2 هنگام بیان شدن در غشاهای سلولی اووسیت‌ها هنوز مشخص نشده است. در این تحقیق آزمایشاتی انجام گرفت تا نقش

Human	KRGYDNP <del>N</del> FFLLSEVNETDDTKM-COOH
Rat	KRGYDNP <del>N</del> FFVLSEVDETDDTQM-COOH
Mouse	KRGYDNP <del>N</del> FFVLSEVDETDDTQM-COOH

**شکل ۱-** اسیدهای آمینه انتهایی کربوکسیل انسان، موش صحرایی و موش مورد قبول واقع شده برای درون بری بواسطه کلاترین (پر رنگ شده) را نشان می‌دهد. کازئین کیناز II (با خط زیر آن مشخص شده و در توالی انسانی حضور ندارد) و اتصال PDZ (به صورت ایتالیک) نشان داده شده است. لغات پر رنگ شده نشانگر توالی محل اتصال PDZ است که با توالی کازئین کیناز II همپوشانی دارد. S مشخص شده با ستاره به سرین موقعیت S362 را نشان می‌دهد.

قاعده‌ای - جانبی سلول‌ها به صورتی نامتقارن توزیع می‌شوند که با وجود آندوسیتوز مداوم به کمک تداخل با اسکلت سلولی این حالت نامتقارن حفظ می‌گردد [۱۳،۴]. کانال پتاسیمی ROMK به شکل سه ایزو فورم مختلف در بخش‌های مختلف انتهایی نفرون‌ها و همچنین در مجاری جمع کننده شناسایی شده‌اند و ترشح یون K<sup>+</sup> در این قسمت‌ها را به عهده دارند. محل قرارگرفتن کانال‌های پتاسیمی ROMK در غشاء راسی سلول‌های کلیه مشخص گردیده است [۲۱]. مطالعات اخیر نشان داده‌است که آندوسیتوز کانال‌های پتاسیمی ROMK بر روی تنظیم ترشح یون K<sup>+</sup> در مجاری جمع کننده تاثیر دارد [۱۲،۱۹،۲۳].

تعادل دینامیکی بین روندهای آگزوسیتوزی جایگزین کننده پروتئین‌های ساخته شده و آندوسیتوز آن‌ها، تعداد کانال‌های پتاسیمی ROMK در غشاء پلاسمایی را تعیین می‌کند. اخیراً Wang و همکارانش نشان دادند که در کلیه‌های موش صحرایی تعداد کانال‌های پتاسیمی غشاء راسی با مقدار رژیم دریافت پتاسیم در این حیوانات دارای رابطه ای معکوس می‌باشد [۱۸]. تعداد کانال‌های پتاسیمی در ثبت‌های پیچ کلامپ<sup>۱</sup> از سلول‌های مجاری جمع کننده (CCDs) موش صحرایی، همچنین کانال‌های ROMK1 بیان شده در غشاء اووسیت‌ها توسط مهار گران تیروزین کیناز افزایش می‌یافت ولی توسط مهار گران تیروزین فسفاتاز کاهش می‌یافت. استفاده از مهار کننده‌های آندوسیتوز اثرات تیروزین کیناز و فسفاتاز بر روی تعداد و فعالیت این کانال‌های پتاسیمی را ممانعت می‌کرد [۱۲،۱۰،۳،۱۹].

ترشح پتاسیم در مجاری جمع کننده به رژیم غذای دریافت

2. Clathrin-Coated Vesicles (CCV's)  
3. Internalization motif

1. Patch Clamp

جریان یونی پتاسیم مربوط به کانال‌های پتاسیمی ROMK2 موش صحرایی اندازه‌گیری گردید. Gurdon و همکارانش قبلاً نشان داده‌اند که بدنال تزریق cRNA به صورت *in vitro* اووسیت‌ها از روی الگو cRNA تا چند برابر سطح همان نوع از پروتئین با منشاء داخلی پروتئین سازی می‌کنند. بنابراین سیگنال بزرگی که با بیان پروتئین ایجاد می‌شود به طور مشخص نتیجه تزریق cRNA می‌باشد (۹).

بر اساس تکنیک TEVC غشاء اووسیت توسط دو الکتروود، یک الکتروود برای ثبت ولتاژ (الکتروود ولتاژی) و دیگری برای تزریق جریان (الکتروود جریان) سوراخ می‌شود. پتانسیل غشاء به بدنال دریافت ولتاژ توسط الکتروود ولتاژی با ولتاژ مورد درخواست مقایسه می‌شود و اختلاف بین این دو مقدار با تزریق جریان به صفر می‌رسد. آزمایشات ولتاژ کلمپ با استفاده از آمپلی فایر (Axon Instruments, Foster Gene-Clamp 500B City, CA, USA) انجام گرفت. داده‌ها با استفاده از نرم افزار Clampex (pClamp, Axon Instruments, version 6) روی یک کامپیوتر IBM مجهز شده به یک مبدل آنالوگ به دیجیتال (Digidata 1200, Axon Instruments) ثبت گردیدند. اطاقک استاندارد اووسیت‌ها Warner Instruments RC-3Z (Inc.) متصل به یک پمپ خلاء که مکش محفظه اووسیت را تامین می‌کند مورد استفاده قرار گرفت. میزان ۵ میلی‌لیتر از محلول ND96 در هر دقیقه بر روی اووسیت‌ها سرریز می‌شد. الکتروود رفرانس متصل به زمین (سیم Ag/AgCl) در داخل محلول پرفیوژن کننده درون اطاقک قرار گرفت. الکتروودهای ولتاژی و جریان از لوله‌های مویینه شیشه‌ای بروسیلیکات با قطر خارجی 1.5mm و قطر داخلی 0.86 mm (GC150F-15 Harvard Apparatus) تهیه می‌گردید که با استفاده از میکرو الکتروود پولر عمودی (Microelectrode puller PP-83: Narishige, Japan) کشیده می‌شدند. الکتروودها با محلول کلرور پتاسیم ۳ مولار پر می‌شدند و تنها الکتروودهای با مقاومت بین 0.5 – 2.5 MΩ برای ثبت‌های داخل سلولی مورد استفاده قرار گرفتند.

میکروالکتروودها با زاویه ۴۵ درجه نسبت به سطح اووسیت به آرامی به درون اووسیت‌ها وارد می‌گردیدند. قبل از وارد کردن میکروالکتروودها آن‌ها با الکتروود رفرنس صفر می‌شدند.

موتاسیون S362A و اسید آمینه سرین جایگاه ۳۶۲ را در کنترل فعالیت عملی ROMK2 در غشا پلاسمایی مشخص نماید.

## مواد و روش‌ها

این مطالعه از نوع تجربی می‌باشد. حیوانات ماده و بالغ *Xenopus laevis* از شرکت Blades Biologicals خریداری گردیدند. حیوانات درون تانک‌های پلاستیکی محتوی آب با درجه حرارت 19- 23°C در شرایط ۱۲ ساعت تاریکی و ۱۲ ساعت روشنایی نگهداری می‌شدند. به طور خلاصه حیوانات در محلول بیهوش کننده تراکن ۲٪ با pH برابر 7.80 قرار گرفتند. پس از بیهوشی حیوانات با جدا کردن سر و تخریب طناب نخاعی کشته شدند. به روش پروتکل استاندارد که توسط Cooper و همکارانش توصیف شده است اووسیت‌ها تحت شرایط آسپتیک جدا و نگهداری شدند [۸]. همه محلول‌ها مورد استفاده با عبور از فیلترهای با قطر منافذ 0.2 μm استریل شدند. بصورت خلاصه لوب‌های تخمدان جدا شده و به تکه‌های به اندازه تقریبی 1 cm × 1 cm × 0.5 cm بریده شدند و سپس به داخل لوله‌های کشت ۵۰ میلی‌لیتری منتقل گردید و بر روی یک شیکر افقی (Rotatest R100, Luckham) به مدت یک ساعت در محلولی فاقد کلسیم (0- Ca<sup>2+</sup> ND96) قرار دادیم و هر ده دقیقه محلول آن را با محلول تازه تعویض کردیم. اووسیت‌ها دوبار در محلول فاقد کلسیم<sup>۲</sup> محتوی 2 mg/ml کلاژناز (Type 1A) به مدت ۲۰ دقیقه قرار دادیم. اووسیت‌های سالم در مراحل V و VI با توجه به قطر و شکل آن‌ها در زیر میکروسکپ شناسایی و جدا شدند و در محلول OR3 با درجه حرارت 18°C درون انکوباتور سرد (LMS: Jencons Scientific Ltd) نگهداری شدند. پس از بدست آوردن منحنی دوز- پاسخ برای غلظت‌های مختلف، cRNA به مقدار 1 ng در حجم نهایی 50 nl تزریق گردید و به اووسیت‌های کنترل 50 nl آب تزریق گردید. با استفاده از تکنیک ثابت نگه داشتن ولتاژ با استفاده از دو الکتروود (TEVC)

1. Tricaine methansulfonate
2. 0 - Ca<sup>2+</sup> ND96

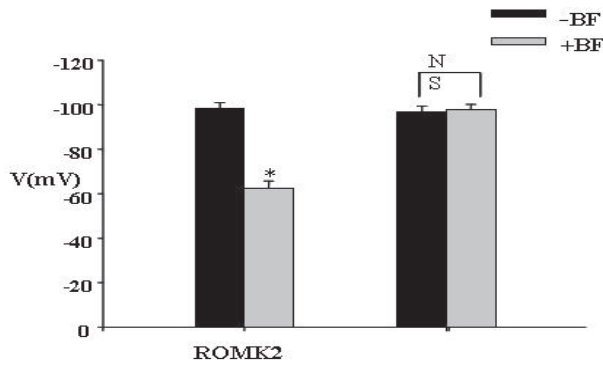
می‌کرد [۱]. محلول استوک BFA به صورت 15 mM در اتانول به عنوان حلال تهیه گردید. BFA ماده‌ای است که انتقال پروتئین‌های ساخته شده از شبکه آندوپلاسمی (ER) به دستگاه گلژی را مسدود می‌نماید. بنابراین پروتئین‌های جدید ساخته شده به غشاء سلول اضافه نمی‌شود. کاهش در تعداد کانال‌های پتاسیمی نشان دهنده میزان آندوسیتوز آن‌ها می‌باشد زیرا این کانال به صورت مداوم با عمل آندوسیتوز از غشاء بر داشته می‌شوند. در طی دوره آزمایشات محیط کشت هر روز با محیط کشت تازه تعویض می‌گردید. در همه آزمایشات از پلاسمید 2 pTLN-ROMK (اهدایی توسط دکتر Gordon Copper) استفاده گردید. برای ایجاد موتاسیون در انتهای کربوکسیل کانال پتاسیمی ROMK2 موش صحرایی با استفاده از روش ایجاد تغییر سریع ایجاد موتاسیون زای مستقیم در جایگاه می‌گردید. موتاسیون S362A یک موتاسیون در قسمت داخلی ناحیه PDZ با این روش تولید گردید. در همه موارد پلاسمید با استفاده از MLU I به صورت خطی تبدیل می‌گردید و cRNA توسط آنزیم RNA SP6 پلیمرز تولید می‌گردید میزان کسر جریان با استفاده از میزان کاهش جریان توسط 5 mM BaCl<sub>2</sub> در مقایسه با مقدار جریان در زمان صفر با استفاده از رابطه زیر اندازه‌گیری گردید.

$$I_{Ba}/I_0 = \text{کسر جریان}$$

که بیانگر خوبی از کاهش مقدار جریان می‌باشد. در این رابطه I مقدار جریان پس از گذشت ۴۸ ساعت انکوبه شدن در محلول BFA و I<sub>Ba</sub> کاهش مقدار جریان توسط باریوم پس از گذشت ۴۸ ساعت انکوبه شدن در محلول BFA و I<sub>0</sub> مقدار جریان ثبت شده در زمان صفر قبل از انکوبه شدن در محلول BFA می‌باشد. که این رابطه به خوبی نشان می‌دهد اگر پس از گذشت ۴۸ ساعت تعداد کانال‌های پتاسیمی در غشاء اووسیت کاهش یافته باشد مقدار کسر جریان کاهش می‌ابد. در صورت عدم کاهش جریان مقدار کسر جریان برابر با یک می‌شود.

نتایج به صورت میانگین همراه با SD ارائه شده‌است. برای مقایسه نتایج ANOVA یکطرفه (Tukey's test) و یا t-tests دانش آموزی به کار برده شد. سطح معنی‌دار بودن ۵٪ می‌باشد.

اندازه‌گیری‌ها هنگامی انجام می‌گرفت که هر دو الکتروود ولتاژی و جریان، پتانسیل غشائی یکسانی را نشان می‌دادند. هنگامی که پتانسیل غشائی ثابت می‌گردید آمپلی فایر از حالت Setup mode به وضعیت Voltage Clamp mode تغییر داده می‌شد. در ابتدا پتانسیل در 50 mV- ثابت نگاه داشته می‌شد و سپس ولتاژ از 120 mV- تا 100 mV+ به اندازه 20 mV در هر مرحله تغییر داده می‌شد و به مدت 50 ms در هر ولتاژ ثابت نگاه داشته می‌شد و بین هر مرحله ولتاژ به 50 mV- بر گردانده می‌شد. برای هر کدام از ثبت‌ها این پروتکل ۵ بار تکرار می‌گردید و سپس متوسط سیگنال‌ها محاسبه می‌شد. باریوم به عنوان مسدودکننده کانال‌های پتاسیمی ROMK2 در مطالعات TEVC به کار برده می‌شد. بعد از ثبت نمودن رابطه ولتاژ-جریان (I-V) با محلول کنترل ND96، محلول ND96 حاوی 5 mM از BaCl<sub>2</sub> بر روی اووسیت‌ها جریان می‌یافت تا این که جریان یون پتاسیم از کانال‌های ROMK2 کاهش می‌یافت و به یک حالت پایدار می‌رسید در این حالت رابطه ولتاژ-جریان (I-V) ثبت می‌گردید. باریوم به میزان ۵ میلی مولار به عنوان مهار کننده کانال‌های پتاسیمی ROMK2 در مطالعات TEVC به کار برده شد. بنابراین اگر پس از تزریق cRNA کانال پتاسیمی بیان می‌گردید. استفاده از این ماده بعنوان مهار کننده کانال باید میزان جریان یونی از این کانال‌ها را کاهش می‌داد. در غیر این صورت اگر جریان یونی ثبت شده مربوط به این نوع کانال نبود میزان جریان تغییری نداشت. پروتکل آزمایشات به این صورت بود که cRNA ای که ROMK2 را کد می‌کرد سه روز قبل از قرار دادن در محلول BFA (زمان صفر) به اووسیت‌ها تزریق می‌شد و در محیط کشت مخصوص OR3 انکوبه می‌گردید. در زمان صفر محیط کشت تعویض می‌گردید و اووسیت‌ها به محیط کشت مخصوص OR3 حاوی محلول BFA (+BFA) به مقدار ۲۵ میکرومولار یا به محیط کشت OR3 با همان حجم از اتانول (به عنوان حلال BFA) منتقل می‌گردیدند. نتایج تحقیقات قبلی نشان داده بود که با دوز ۲۵ میکرومولار BFA میزان جریان یونی پتاسیم از کانال‌های پتاسیمی به علت کاهش تعداد کانال‌ها در تمامی زمان‌ها [h ۴۸ و ۲۴، ۱۲، ۶، ۳] پس از انکوبه شدن کاهش معنی‌داری پیدا

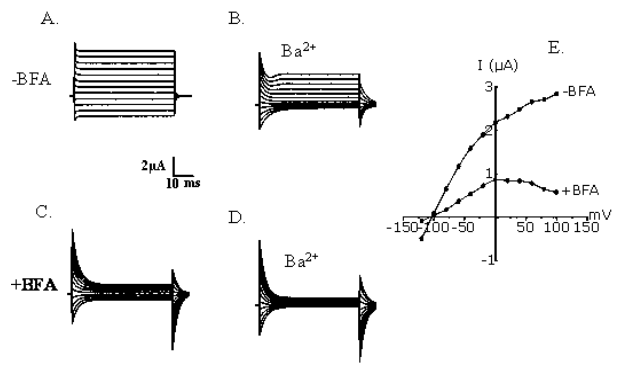


**شکل ۴-** پتانسیل استراحت اندازه‌گیری شده در اووسیت‌های که ROMK2 و موتاسیون S362A را بیان کرده‌اند در حضور و غیاب BFA را پس از مدت ۴۸ ساعت نشان می‌دهد  $P < 0.001$  ( $n = 24$ ) \* این نتایج افزایش پایداری و ثبات کانال‌های پتاسیمی ROMK2 غشاء با ایجاد موتاسیون S362A را نشان می‌دهد، که با این عقیده توافق دارد که S-E-V در تعیین پایداری کانال‌های پتاسیمی ROMK نقش به عهده دارد.

نشان می‌دهد، با توجه به شکل ۵ نتایج نشانگر کاهش سطح میزان جریان یونی پتاسیم حساس به باریم می‌باشد.

ثبت الکتروفیزیولوژیک جریان یون‌های پتاسیم از کانال پتاسیمی ROMK2 با موتاسیون S362A که در اووسیت‌ها بیان می‌شدند پس از انکوبه شدن در BFA در مدت زمان ۴۸ h و ۲۴ در غلظت ۲۵ میکرو مولار کاهش معنی‌داری را در میزان جریان یونی این کانال پتاسیمی نشان نداد. نمودارهای ثبت جریان از اووسیت‌های است که موتاسیون S362A را بیان کرده‌اند بعد از ۴۸ ساعت انکوبه شدن در حضور BFA در شکل ۳ نشان داده شده است. بعد از ۴۸ ساعت انکوبه شدن در BFA میزان کسر جریان برابر با  $0.96 \pm 0.05$  بود و کاهش در میزان جریان دیده نشد (شکل ۵).

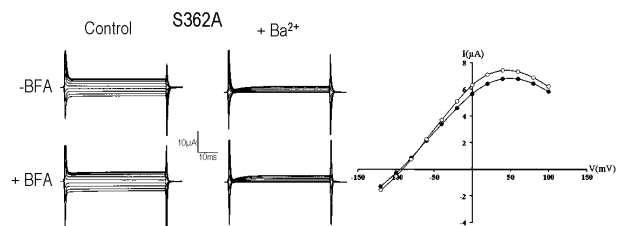
پتانسیل استراحت غشاء اووسیت‌ها که به تعداد کانال‌های پتاسیمی ROMK2 بستگی دارد در طول آزمایشات در هر دو گروه از اووسیت‌های انکوبه شده در محلول دارای BFA (+BFA) و محلول فاقد BFA (-BFA) اندازه‌گیری گردید. چنان که نتایج نشان می‌دهد اووسیت‌های که کانال پتاسیمی ROMK2 را بیان می‌کردند بعد از گذشت ۴۸ ساعت از انکوبه شدن در محلول BFA کاهش معنی‌داری در پتانسیل استراحت غشاء را در مقایسه با اووسیت‌های که در محلول فاقد BFA انکوبه گردیدند را نشان می‌دادند ولی در اووسیت‌های که موتاسیون S362A را بیان می‌کنند در این زمان اختلاف معنی‌داری بین این دو گروه وجود نداشت و تحت تاثیر BFA قرار نگرفتند (شکل ۴).



**شکل ۲-** اثر BFA بر روی کانال پتاسیمی ROMK2 را نشان می‌دهد. منحنی‌های ثبت شده A-D از اووسیت Xenopus در حضور و عدم حضور 5mM از کلور باریم در گروه کنترل (منحنی‌های A و B) و گروه بعد از ۴۸ ساعت انکوبه شدن در حضور 25  $\mu\text{M}$  BFA (منحنی‌های C و D) را نشان می‌دهد. نمودار E منحنی جریان-ولتاژ (I/V) از همان اووسیت را نشان می‌دهد.

## یافته‌ها

نتایج این تحقیق نشان داد که انکوبه کردن اووسیت‌ها در محلول ۲۵ میکرو مولار BFA میزان جریان از طریق کانال‌های پتاسیمی ROMK2 کاهش می‌داد. با دوز ۲۵ میکرومولار BFA میزان جریان در زمان‌های [۲۴ و ۴۸ h] پس از انکوبه شدن کاهش معنی‌داری پیدا می‌کند (شکل ۲). برای ROMK2 پس از اینکه اووسیت‌ها ۴۸ ساعت تحت تاثیر BFA بودند میزان کسر جریان برابر با  $0.24 \pm 0.05$  ( $n=16$ ) بود (شکل ۵). شکل ۲ میزان جریان یونی پتاسیم مربوط به دو عدد اووسیت از این سری از آزمایشات را پس از ۴۸ ساعت انکوبه شدن در محلول ۲۵ میکرومولار BFA را

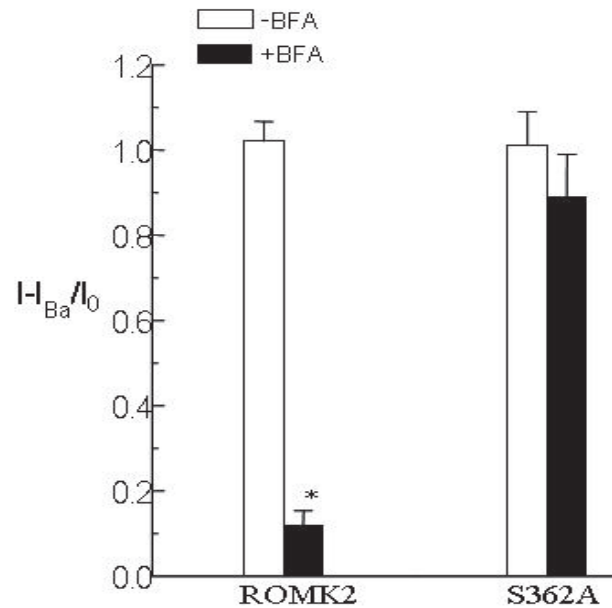


**شکل ۳-** اثر BFA بر روی کانال پتاسیمی موتاسیون یافته S362A- ROMK2 را نشان می‌دهد. منحنی‌های ثبت شده A-D از اووسیت Xenopus در حضور و عدم حضور 5mM از کلور باریم در گروه کنترل (منحنی‌های A و B) و گروه دارای موتاسیون S362A بعد از ۴۸ ساعت انکوبه شدن در حضور 25  $\mu\text{M}$  از BFA (منحنی‌های C و D) را نشان می‌دهد. نمودار E منحنی جریان-ولتاژ (I/V) از همان اووسیت را نشان می‌دهد.

صورت فسفوریله می‌باشد. موتاسیون S362A که حالت دفسفوریله را تبعیت می‌کند نسبت به آندوسیتوز مقاوم بود. بنابراین می‌توان نتیجه گرفت که این جایگاه از طریق فسفوریلاسیون می‌تواند آندوسیتوز این کانال‌ها را تنظیم نماید. اختلال در فسفوریلاسیون کانال‌های ROMK2 در این ناحیه سبب ایجاد مقاومت نسبت به آندوسیتوز می‌گردد. وضعیت فسفوریلاسیون یا دفسفوریلاسیون کانال‌های ROMK2 تعداد کانال‌های پتاسیمی فعال در غشاء را تعیین می‌نماید با توجه به این که فسفوریلاسیون وابسته به کازین کیناز نوع II می‌باشد بنابراین می‌تواند پایداری پروتئین‌ها را به این صورت تحت تاثیر قرار دهد [۲۲]. تحقیقات قبلی نشان داده است که BFA ماده‌ای است که بر روی روند آندوسیتوز از طریق CCV در غشاءهای پلاسمایی تاثیری ندارد [۱۶]. تحقیق حاضر تاثیر مهاری BFA بر روی انتقال این کانال‌های پروتئینی به غشاء را نشان می‌دهد که با مطالعات قبلی دیگران بر روی کانال‌های ROMK1 مطابقت دارد [۲۳].

چندین مطالعه قبلی نشان داده‌اند که کانال پتاسیمی ROMK در غشاء پلاسمای اووست‌های *Xenopus laevis* و همچنین در مجاری جمع‌کننده قشری نفرون‌ها دستخوش آندوسیتوز می‌گردد. اووسیت‌های *Xenopus laevis* دارای ماشینی برای آندوسیتوز با واسطه وزیکول‌های پوشیده شده با کلاترین (CCVs) است با توجه به این ویژگی این اووسیت‌ها برای مطالعه آندوسیتوز با واسطه وزیکول‌های پوشیده شده با کلاترین بسیاری از کانال‌های یونی از جمله کانال‌های سدیمی اپیتلیال (ENaCs)، CFTR، کانال‌های کلراید و کانال‌های پتاسیمی ROMK1 مورد استفاده قرار گرفته‌اند [۵، ۱۷، ۲۳].

برای بسیاری از روندهای سلولی ارتباطات و اثرات متقابل پروتئینی بر سایر پروتئین‌ها غشاء سلولی حیاتی است که این عمل توسط پروتئین‌های انجام می‌شود که ساختمان آن‌ها در طول تکامل حفظ گردیده است. بسیاری از اعمال مختلف سلولی به خصوصیات ساختمانی و کاتالیتیک هر کدام از این پروتئین‌ها بستگی دارد. پروتئین‌های آداپتوری به صورت مستقیم یا با واسطه سایر پروتئین‌ها بر روی این بر هم کنش‌ها تاثیر می‌گذارند که می‌توانند بخش‌های از قطعات پلی‌پپتیدی را تشخیص دهند و به آن‌ها متصل گردند [۱۵]. پروتئین‌های ناحیه



شکل ۵- کسر جریان اندازه‌گیری شده در اووسیت‌های که ROMK2 و موتاسیون S362A را بیان کرده‌اند در حضور و غیاب BFA را پس از مدت ۴۸ ساعت نشان می‌دهد. (\* = P < 0.001 (n = 24) این نتایج افزایش پایداری ثبات کانال‌های پتاسیمی ROMK2 غشاء با ایجاد موتاسیون S362A را نشان می‌دهد.

## بحث

نتایج به دست آمده در مطالعه حاضر با توجه به عدم کاهش میزان جریان که نشان دهنده عدم کاهش تعداد کانال‌های پتاسیمی ROMK2 موتاسیون یافته در غشاء اووسیت است می‌توان نتیجه گرفت که این قسمت از کانال در آندوسیتوز شدن این نوع از کانال دخالت دارد. می‌توان بر هم کنش‌های را پیشنهاد کرد که ممکن است چگونگی و نحوه بیان پروتئین‌های کانال‌های ROMK2 در کلیه را تحت تاثیر خود قرار می‌دهد. موتاسیون S362A کانال پتاسیمی حالت دفسفوریلاسیون را تقلید می‌کند. میزان جریان‌های یونی ثبت شده از بیان کانال‌های پتاسیمی ROMK2 و کانال‌های موتاسیون یافته S362A و پتانسیل استراحت اندازه‌گیری شده غشاء اووسیت‌ها، افزایش پایداری و متوقف شدن آندوسیتوز کانال‌های پتاسیمی موتاسیون یافته S362A را نشان می‌دهد (شکل ۵و۴). که نشان می‌دهد که توالی S-E-V در پایداری و آندوسیتوز کانال‌های پتاسیمی ROMK2 نقش دارد. در شرایط طبیعی این جایگاه به

توالی‌های انتهایی کربوکسیل راه ساده‌ای است که با پروتئین‌های هدف بدون بر هم‌زدن ساختمان و عملکرد کلی لیگاند‌هایشان تداخل نمایند. این که نواحی PDZ چگونه این عمل را انجام می‌دهند نیاز به تحقیقات بیشتری دارد. عملکرد کانال می‌تواند توسط کنترل توزیع و پخش شدن کانال به درون نواحی تخصص یافته از غشاهای پلاسمایی و یا از طریق اسکلت سلولی تنظیم گردد. برای مثال کانال  $K_{II}2.3$  از طریق نواحی کوچکی از C- انتهای به اسکلت سلولی متصل می‌شود که با پروتئین متصل شونده PSD-95 از PDZ بر هم کنش می‌کند و به آن اجازه می‌دهد به رشته‌های اکتین اسکلت سلولی متصل شود. اسید آمینه سرین در ناحیه C- انتهای از کانال‌های  $K_{II}2.3$  برای این بر هم کنش مهم و ضروری می‌باشد [۶] بعلاوه فسفوریلاسیون این اسید آمینه توسط پروتئین کیناز A این اثرات متقابل را تنظیم می‌کند. وقتی که سرین فسفوریله می‌شود  $K_{II}2.3$  به PSD-95 متصل نمی‌شود و در این نوع از کانال، فسفوریلاسیون می‌تواند تراکم کانال‌های پس سیناپسی را کنترل نماید [۶]. در مورد کانال‌های پتاسیمی ROMK2 نیز فسفوریله شدن به عنوان یک عامل تنظیم کننده عمل می‌کند اینکه آیا در این فسفوریلاسیون CKII دخالت دارد به تحقیقات بیشتری نیاز دارد.

نتایج این مطالعه نشان می‌دهد که کاهش پیش رونده در میزان جریان یون پتاسیم از کانال‌های ROMK2 در حضور BFA ناشی از تاثیر بر روی باز شدن این نوع از کانال‌ها نیست بلکه نتیجه کاهش در تعداد کانال‌های فعال در غشاء پلاسمایی است. موتاسیون S362A مقاومت پروتئین کانال‌های ROMK2 نسبت به آندوسیتوز را سبب می‌شود که نشان می‌دهد که بین انتهایی کربوکسیل کانال‌های پتاسیمی ROMK2 و اجزاء مسیر آندوسیتوز تداخل عمل وجود دارد و یک ناحیه PDZ با عملکرد مناسب برای آندوسیتوز ضروری است.

PDZ یکی از مهمترین گروه آداپتورهای پروتئینی هستند که دارای حدود ۹۰ اسید آمینه است که به صورت اختصاصی به قطعات کوتاه در پروتئین‌های انتهایی کربوکسیل متصل می‌شود. ناحیه PDZ به عنوان یک پروتئین تعدیل کننده عمل می‌کند که در نشانه گیری (targeting) پروتئین‌های پیچیده نقش مهمی دارد. بسیاری از این لیگاند‌ها دنباله‌های سیتوپلاسمی پروتئین‌های عرض غشایی هستند که در نواحی تخصص یافته غشاء مانند کمپلکس‌های اتصال دهنده اپیتلیالی با یکدیگر متصل می‌شوند [۱۴]. چندین ناحیه PDZ متصل شونده شناسایی شده‌اند که مجتمع‌های پروتئینی را به یکدیگر متصل می‌کنند و در قطبی شدن پروتئین‌ها در غشا راسی و یا قاعده‌ای سلول‌های اپی تلیالی شرکت دارند [۲]. اثرات متقابل اختصاصی بین پروتئین‌ها ارتباط بین ساختمان و عملکرد آن‌ها را در درون سلول‌ها مشخص می‌کند. برخی از این بر هم کنش‌ها از طریق نواحی پروتئینی حفظ شده در طول تکامل با ناحیه تعدیل کننده و اتصالی PDZ انجام می‌شود. همچنین ناحیه PDZ در پروتئین‌های اسکلت سلولی همانند PSD-95 (یک نوع از پروتئین متراکم پس سیناپسی) حضور دارد و نقش بسار مهمی در عملکرد ساختمان‌های غشایی به عهده دارد. تنظیم کانال‌های پتاسیمی ROMK توسط اسکلت سلولی ارتباط و اتصال بین این کانال‌ها و اسکلت سلولی را نیز تایید می‌کند. موتاسیون در کانال پتاسیمی ROMK در جایگاه اسید آمینه T332 سبب شیفت قالب و ایجاد یک کدون متوقف کننده زودرس در نزدیک انتهایی کربوکسیل می‌شود که انتقال این کانال به درون غشاء پلاسمایی را مهار می‌کند و سبب ایجاد سندرم بارترز می‌شود. امروزه مشخص شده‌است که پروتئین‌های ناحیه PDZ نقش بسیار مهمی در هدف‌گیری پروتئین به درون مولکول‌های پیچیده و وارد شدن به بخش‌های اختصاصی غشاء را دارد. همچنین شواهدی وجود دارد که آن‌ها می‌توانند علاوه بر انجام وظیفه همانند یک داربست عمل لیگاند‌های خودشان را نیز تنظیم نمایند. برای پروتئین‌های PDZ قابلیت اتصال به



## References

- [1] Bilder D, Schober M, Perrimon N. Integrated activity of PDZ protein complexes regulates epithelial polarity. *Nat Cell Biol* 5 (2003) 53-58.
- [2] Boim MA, Ho K, Shuck ME, Bienkowski MJ, Block JH, Slightom JL, et al. ROMK inwardly rectifying ATP-sensitive K<sup>+</sup> channel. II. Cloning and distribution of alternative forms. *Am J Physiol* 268 (1995) F1132-1140.
- [3] Bomsel M, Prydz K, Parton RG, Gruenberg J, Simons K. Endocytosis in filter-grown Madin-Darby canine kidney cells. *J Cell Biol* 109 (1989) 3243-3258.
- [4] Bradbury NA, Clark JA, Watkins SC, Widnell CC, Smith HSt, Bridges RJ. Characterization of the internalization pathways for the cystic fibrosis transmembrane conductance regulator. *Am J Physiol* 276 (1999) L659-668.
- [5] Cohen NA, Brenman JE, Snyder SH, Brecht DS. Binding of the inward rectifier K<sup>+</sup> channel Kir 2.3 to PSD-95 is regulated by protein kinase A phosphorylation. *Neuron* 17 (1996) 759-67.
- [6] Conner SD, Schmid SL. Regulated portals of entry into the cell. *Nature* 422 (2003) 37-44.
- [7] Cooper GJ, Boron WF. Effect of PCMBs on CO<sub>2</sub> permeability of *Xenopus* oocytes expressing aquaporin 1 or its C189S mutant. *Am J Physiol* 275 (1998) C1481-6.
- [8] Gurdon JB, Lane CD, Woodland HR, Marbaix G. Use of frog eggs and oocytes for the study of messenger RNA and its translation in living cells. *Nature* 233 (1971) 177-182.
- [9] Hajhashemi S, White SJ. Effect of the V364D mutation in membrane endocytosis of ROMK2 (Kir1.1b) *Rahavard Danesh* 10 (2007) 25-35.
- [10] Hebert SC. An ATP-regulated, inwardly rectifying potassium channel from rat kidney (ROMK). *Kidney Intl* 48 (1995) 1010-1016.
- [11] Mellman I. Endocytosis and molecular sorting. *Ann Rev Cell Dev Biol* 12 (1996) 575-625.
- [12] Moral Z, Dong K, Wei Y, Sterling H, Deng H, Ali S, et al. Regulation of ROMK1 channels by protein-tyrosine kinase and -tyrosine phosphatase. *J Biol Chem* 276 (2001) 7156-7163.
- [13] Parton RG, Prydz K, Bomsel M, Simons K, Griffiths G. Meeting of the apical and basolateral endocytic pathways of the Madin-Darby canine kidney cell in late endosomes. *J Cell Biol* 109 (1989) 3259-3272.
- [14] Radziwill G, Erdmann RA, Margelisch U, Moelling K. The Bcr kinase downregulates Ras signaling by phosphorylating AF-6 and binding to its PDZ domain. *Mol Cell Biol* 23 (2003) 4663-4672.
- [15] Scott JD, Pawson T. Cell communication: the inside story. *Sci Am* 282 (2000) 72-9.
- [16] Shieh BH, Zhu MY. Regulation of the TRP Ca<sup>2+</sup> channel by INAD in drosophila photoreceptors. *Neuron* 16 (1996) 991-998.
- [17] Shimkets RA, Lifton RP, Canessa CM. The activity of the epithelial sodium channel is regulated by clathrin-mediated endocytosis. *J Biol Chem* 272 (1997) 25537-25541.
- [18] Wang W, Lerea KM, Chan M, Giebisch G. Protein tyrosine kinase regulates the number of renal secretory K channels. *Am J Physiol* 278 (2000) F165-171.
- [19] Wei Y, Bloom P, Gu R, Wang W. Protein-tyrosine phosphatase reduces the number of apical small conductance K<sup>+</sup> channels in the rat cortical collecting duct. *J Biol Chem* 275 (2000) 20502-20507.
- [20] Wood SA, Park JE, Brown WJ, Brefeldin A causes a microtubule-mediated fusion of the trans-Golgi network and early endosomes. *Cell* 67 (1991) 591-600.
- [21] Xu JZ, Hall AE, Peterson LN, Bienkowski MJ, Eessalu TE, Hebert SC. Localization of the ROMK protein on apical membranes of rat kidney nephron segments. *Am J Physiol* 273 (1997) F739-748.
- [22] Yin X, Jedrzejewski PT, Jiang JX. Casein kinase II phosphorylates lens connexin 45.6 and is involved in its degradation. *J Biol Chem* 275 (2000) 6850-6856.
- [23] Zeng WZ, Babich V, Ortega B, Quigley R, White SJ, Welling PA, et al. Evidence for endocytosis of ROMK potassium channel via clathrin-coated vesicles. *Am J Physiol* 283 (2002) F630-639.